

تأثیر طول و ترکیب الیاف در مقاومت‌های فشاری و خمشی بتن

علی همتی * (استادیار)

داود نظری (دانشجوی کارشناسی ارشد)

علیرضا مؤمن‌آبادی (دانشجوی کارشناسی ارشد)

گروه مهندسی عمران، دانشگاه آزاد اسلامی، واحد سمنان

مهندسي عمران شريف، (همار ۱۶۰) دورى ۴، شماره ۱، صص ۱۳۱-۱۴۰، پژوهشى

استفاده از الیاف اغلب با هدف افزایش شکل‌پذیری و ظرفیت باربری بتن مورد نظر است. در این مقاله ۱۵ طرح اختلاط بتن برای انجام آزمایش مقاومت فشاری و خمشی ساخته شد. ۳ طرح اختلاط به عنوان مرجع با ۳ نسبت آب به سیمان (۲۴/۰، ۲۹/۰، ۳۴/۰) بدون الیاف و با الیاف با ۳ طول مختلف الیاف پلی‌پروپیلن میلی‌مترساخته شد. یک طرح با الیاف فلزی و طرح دیگری با ترکیب الیاف فلزی و پلی‌پروپیلن مورد بررسی قرار گرفتند. بالاترین مقاومت فشاری مربوط به نمونه‌های دارای الیاف ترکیبی بود که ۹/۱۲ درصد نسبت به نمونه مرجع افزایش داشت. نمونه دارای الیاف فلزی بالاترین مقاومت خمشی را داشته و نسبت به نمونه بدون الیاف ۶۰ درصد افزایش مقاومت را نشان می‌دهد. با افزایش طول الیاف پلی-پروپیلن کارایی و مقاومت فشاری بتن کاهش یافت اما شکل‌پذیری نمونه‌ها افزایش داشت و مقاومت خمشی و شکل‌پذیری نمونه‌ها افزایش یافت.

الایاف پلی-پروپیلن کارایی و مقاومت فشاری بتن کاهش یافت اما شکل‌پذیری نمونه‌ها افزایش داشت و مقاومت خمشی و شکل‌پذیری نمونه‌ها افزایش یافت.

واژگان کلیدی: الیاف پلی‌پروپیلن، الیاف فولادی، مقاومت فشاری، مقاومت خمشی.

۱. مقدمه و تاریخچه‌ی پژوهش

مکانیکی بتن، آزمایش سه نقطه‌ی خمش روی تیرهای شیاردار انجام داد و دریافت که اضافه کردن الیاف در انرژی شکست تأثیر قابل توجهی دارد، ولی اثر قابل توجهی در مقاومت فشاری و مدول کشسانی نمونه‌های بتنی ندارد.^[۱] فلاح حسینی و حاجی کریمی (۲۰۱۷)، درخصوص درصدهای حجمی (۱/۰، ۱/۵ و ۱/۱) طول‌های (۱۹، ۳۵ و ۵۰ میلی‌متر) و شکل‌های هندسی الیاف (ساده و شبکه) پلی‌اولفین^۱ در بتن پر مقاومت به این نتیجه رسیدند که افزایش طول الیاف، اثر مثبتی در مشخصات مکانیکی و شکست بتن داشته است.^[۲] آبرتی^۲ و همکاران (۲۰۱۷)، مطالعه‌ی در مورد بتن الیافی خودتراکم با ترکیب الیاف پلی‌اولفین و فولادی قلاب‌دار انجام دادند و دریافتند که با ترکیب دو الیاف اخیر، مقاومت خمشی و چرمگی شکست بتن نسبت به نمونه با الیاف تکی افزایش می‌یابد.^[۳] یو^۳ و همکاران (۲۰۱۷)، مطالعه‌ی روی مقایسه‌ی رفتار خمشی بتن توانمند با الیاف فلزی ترکیبی با طول‌های مختلف (۱۳، ۱۹/۵ و ۳۵ میلی‌متر) انجام دادند و دریافتند که الیاف با طول‌های متوسط و بلند، عملکرد خمشی را بهبود می‌بخشند. همچنان، استفاده از الیاف‌های ترکیبی کوتاه و بلند، چرمگی و رفتار ترک‌خوردگی را بهبود

بن دارای یک نقطه ضعف مهم درخصوص مقاومت کششی است، که قادر تحمل کرنش زیاد پس از رسیدن به مقاومت فشاری بیشینه است و بعد از رسیدن به مقاومت فشاری بیشینه، بتن به صورت ترد دچار خرابی می‌شود.

هدف اصلی استفاده از الیاف در بتن، کنتل گسترش ترک است، به گونه‌ی که مقطع پس از تشکیل اولین ترک‌ها، توانایی تحمل تغییرشکل و نیروی بیشتری را داشته باشد. الیاف به صورت تصادفی درون مخلوط بتن توزیع می‌شود و در عرض ترک‌ها پل می‌زند. همچنان، گسترش آنها را کنتل و از بهم پیوستن آنها جلوگیری می‌کند. در این حالت، الگوی تشکیل و رشد ترک عامل کسیختگی، از یک ترک بزرگ به تعدادی ترک ریز تغییر می‌کند. پل زدن الیاف روی ریزترک‌ها و جلوگیری از تشکیل ترک‌های بزرگ، باعث افزایش شکل‌پذیری و توانایی جذب انرژی بتن می‌شود.^[۱]

ارسلان (۲۰۱۶)، در پژوهشی پیرامون آثار الیاف بازالت و شیشه‌ی خرد شده با نسبت‌های ۱/۵ و ۱/۲، ۰ و ۳ کیلوگرم بر مترمکعب در انرژی شکست و ویرگی‌های

* نویسنده مسئول

تاریخ: دریافت ۲۸/۱/۸، اصلاحیه ۲۳/۲/۲، پذیرش ۲۵/۲/۲، ۱۴۰۰.

استناد به این مقاله:

همتی، علی، نظری، داود، و مؤمن‌آبادی، علیرضا، ۱۴۰۰، ۳. تأثیر طول و ترکیب الیاف در مقاومت‌های فشاری و خمشی بتن. مهندسی عمران شریف، ۱۴۰، ۱، صص ۳۳-۴۱.

DOI:10.24200/J30.2023.61231.3159

آسان در کشوار اجتناب ناپذیر به نظر می‌رسد. به همین منظور الیاف پلی پروپیلن به طول های ۱۲، ۶ و ۱۸ میلی‌متر و الیاف فولادی به طول ۴۰ میلی‌متر برای انجام بیوهوش حاضر انتخاب شده‌اند. در نوشтар حاضر، کاربرد الیاف پلی پروپیلن با طول‌های متفاوت با در نظر گرفتن سه نسبت آب به سیمان و نیز در ترکیب با الیاف فولادی جهت بررسی مشخصات فشاری و خمشی بتن بررسی شده است.

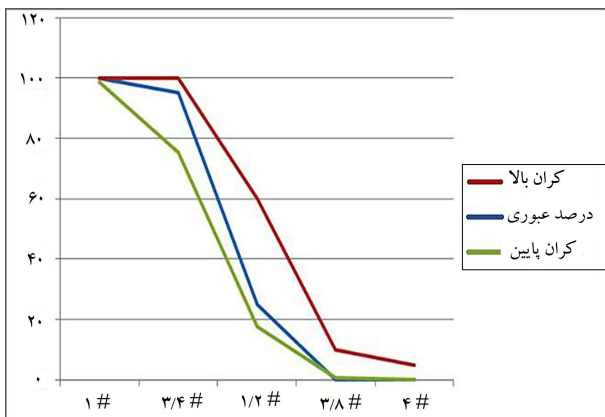
۲. مواد و روش‌ها

- مصالح مصرفی: درشت دانه‌ی مصرفی (سنگ دانه‌ها) مطابق با دانه‌بندی مجاز استاندارد ASTM_C33^[۱۶] تا اندازه‌ی بیشینه ۲۵ میلی‌متر تهیه شده است، که مدلول نرمی آن ۳/۰۷۴ بوده است (شکل ۱).

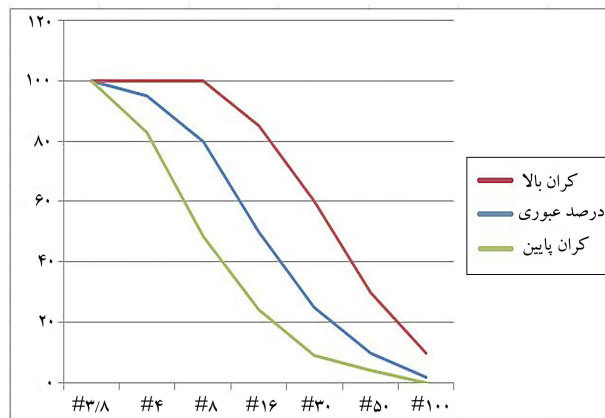
[۱۹] ریزدانه‌ی مصرفی نیز مطابق دانه‌بندی مجاز استاندارد ASTM_C33^[۱۹] تهیه شده است، که مدلول نرمی آن طبق استاندارد اخیر ۴/۳ تعیین شده است (شکل ۲).

سیمان پرتلند تیپ II مطابق با استاندارد ASTM-C150^[۲۰] استفاده شده است، که ویژگی‌های آن در جدول ۱ آرائه شده است.

- زل میکروسیلیس (SF-MIX): یکی از مناسب‌ترین افزودنی‌های بتن در مناطق همچوار با آب دریا و یا در معرض هجوم یون‌های خورنده‌ی کار و سولفات است، که بدلیل داشتن ترکیب پوزولانی، علاوه‌بر افزایش روانی و مقاومت‌های مکانیکی بتن، سبب نفوذناپذیری در برابر آب و املاح خورنده و در نهایت افزایش



شکل ۱. نمودار دانه‌بندی شن.



شکل ۲. نمودار دانه‌بندی ماسه.

می‌بخشنند.^[۵] پاکروان و همکاران (۲۰۱۷)، با بررسی ترکیب الیاف‌های فولادی، پلیمری و طبیعی کوتاه در بتن گزارش کردند که ترکیب آنها، افزایش چقرمگی و جذب انرژی بتن را به همراه دارد.^[۶] کومار^[۷] و همکاران (۲۰۱۳)، تأثیر افزودن الیاف پلی پروپیلن در روسازی‌های بتنی را مطالعه کردند و گزارش دادند که الیاف پلی پروپیلن تأثیر زیادی در افزایش مقاومت سایشی و کاهش ترک خوردگی بتن روسازی دارد.^[۷] پستگری^[۸] و همکاران (۲۰۲۰)، با بررسی کاربرد الیاف فولادی موجود در لاستیک دریافتند که شکل الیاف فولادی و نسبت آب به میزان ۷۵٪ حجم بتن، مقاومت‌های فشاری استاتیکی و دینامیکی به طور قابل توجهی بهبود یافته و به مقدار بیشینه رسیده است.^[۹] لیانگ^[۱۰] و همکاران (۲۰۲۲)، با بررسی روسازی‌های بتن غلتکی مسلح به الیاف پلی پروپیلن دریافتند که افزودن آن، اثر قابل توجهی در مقاومت‌های فشاری و کششی بتن غلتکی داشته است. الیاف با طول کوتاه در افزایش مقاومت سینی اولیه و الیاف بلند در مسلح‌سازی بتن پس از آن مؤثرت بوده‌اند.^[۱۰] ایشان همچنین در مطالعه‌ی دیگری در همان سال، با بررسی رفتار بتن مسلح به الیاف پلی پروپیلن به طول‌های ۱۹ و ۵۰ میلی‌متر در برابر حمله‌ی سولفاتی دریافتند که وجود الیاف کوتاه سبب افزایش بیشتر دوام بتن مسلح شده است.^[۱۱] کومار و همکاران (۲۰۲۱)، نیز در مطالعه‌ی دیگری بر روی رفتار بررسی تیرهای بتن الیافی نشان دادند که ترکیب الیاف‌های فولادی و پلی پروپیلن باعث افزایش سختی اولیه‌ی تیرهای مذکور، افزایش شکل پذیری و مقاومت بررسی آنها شده است.^[۱۲] بهمنی و مستوفی نژاد (۲۰۱۸)، بررسی خواص مکانیکی بتن با عملکرد بسیار بالای مسلح شده به الیاف پلی پروپیلن و الیاف ماکروی مصنوعی در بتن را در دستور کار قرار دادند. میزان کلی الیاف در همه‌ی نمونه‌ها معادل ۱/۵٪ حجم بتن در نظر گرفته شد. نتایج بیانگر آن بود که تمامی نمونه‌های مسلح شده به انواع الیاف به مقاومت خمشی بیش از ۸ مگاپاسکال رسیده‌اند.^[۱۳] قاسمی و همکاران (۱۳۹۸)، در بررسی اثر ترکیب الیاف‌های فولادی و پلی پروپیلن به همراه سنگ دانه‌های بازیافتی در مقاومت بتن، شاهد افزایش طاقت نمونه‌ها بودند.^[۱۴] دنگ^[۱۵] و همکاران (۲۰۲۳)، اثر مشخصات الیاف در مقاومت سایشی بتن بازیافتی را مطالعه کردند و دریافتند که با افزایش طول الیاف پلی پروپیلن، مقاومت سایش بتن‌های بازیافتی نیز افزایش یافته است.^[۱۵] علی و همکاران (۲۰۲۲)^[۱۶] نیز نشان دادند که افزایش طول الیاف سبب افزایش انرژی شکست نمونه‌های بتن الیافی می‌شود.^[۱۶] دنگ^[۱۷] و همکاران (۲۰۲۰)، با مطالعه بر روی الیاف پلی وینیل کلرول در بتن‌های توانمند به این نتیجه رسیدند که طول ۹ تا ۱۵ میلی‌متر، طول بهینه‌ی الیاف مذکور برای بتن‌های توانمند است.^[۱۷] پهلویانی و اوزون (۲۰۲۲)^[۱۸]، با مطالعه‌ی اثر طول الیاف پلی پروپیلن شامل الیاف به طول‌های ۳، ۶ و ۱۲ میلی‌متر در مشخصات بتن سبک گازی دریافتند که مقاومت‌های فشاری و خمشی بتن با افزایش طول الیاف پلی پروپیلن زیاد می‌شوند.^[۱۸] همان‌گونه که مشاهده می‌شود، مطالعات متعددی بر روی مشخصات الیاف و نیز ترکیب آنها با یکدیگر و اثر آنها در ویژگی‌های بتن انجام شده است. اما بیشترشان بر روی بتن‌های توانمند و خاص با الیاف فولادی، بازیافتی، یا پلیمری متصرک بوده‌اند. حالی که معمولاً مقاومت‌های فشاری بتن حاوی الیاف پلی پروپیلن نسبت به بتن معمولی افزایش چندانی ندارد، اما ضرورت استفاده از آن به جهت قیمت مناسب و دسترسی

جدول ۱. ویژگی‌های سیمان.

ویژگی‌های فیزیکی سیمان پرتلند نوع II ISIRI۳۸۹ & ASTM C - ۱۵۰		ویژگی
حداقل ۲۸۰۰	سطح مخصوص - بلین (سانتی متر بر گرم)	
حداکثر ۸/۴	انبساط انوکلاو (درصد)	
حداقل ۴۵	اولیه (دقیقه)	زمان گیرش
حداکثر ۶	ثانویه (ساعت)	
حداقل ۱۰۰	مقاومت فشاری روزه ۳	
حداقل ۱۷۵	کیلوگرم بر روزه ۷	
حداقل ۳۱۵	سانتی متر مریع ۲۸	
ویژگی‌های شیمیایی سیمان پرتلند نوع II ISIRI۳۸۹ & ASTM C - ۱۵۰		ویژگی
حداقل ۲۰	اکسید سیلیسیم ۲۱/۱۱	
حداکثر ۶	اکسید آلومینیوم ۴/۴۸	
حداکثر ۶	اکسید آهن ۳/۹۱	
حداکثر ۵	اکسید مسیزیم ۱/۳۷	
-	اکسید کلسیم ۶۳/۳۶	
حداکثر ۰/۷۵	باقیمانده نامحلول -	
حداکثر ۳	کسر وزن در اثر سرخ شدن -	
حداکثر ۳	تری اکسید گوگرد ۲/۵	
حداکثر ۸	سه کلسیم آلمینیات ۵/۱	

جدول ۲. مشخصات فیزیکی و شیمیایی ژل میکروسیلیس.

نوع ژل میکروسیلیس	
SF - MIX	حالت فیزیکی
ژلامی	رنگ
خاکستری	وزن مخصوص
۱/۳ ± ۰/۰۵ (gr/cm³)	یون کلر
نیازدار	PH
۱۰ تا ۹	استاندارد
ASTM C۴۹۴&C۱۲۰۲	میزان مصرف
۵ الی ۱۰ درصد وزن سیمان	زمان و شرایط نگهداری
تا یک سال در انبار مناسب دور از یخ زدگی و تابش مستقیم آفتاب	

جدول ۳. مشخصات فیزیکی و شیمیایی فوق روان‌کننده.

PX - MIX	نوع فوق روان‌کننده
مایع	حالت فیزیکی
زرد روشن	رنگ
۱/۰۳ ± ۰/۰۱ (gr/cm³)	وزن مخصوص
۵ الی ۶	PH
ISIRI ۲۹۳۰ - ۲ & ASTM C۴۹۴ TYPE F	استاندارد

دوام بت خواهد شد. مشخصات فیزیکی و شیمیایی ژل میکروسیلیس در جدول ۲ ارائه شده است.

- **فوق روان‌کننده (PX-MIX):** محصولی پلیمری با ترکیب‌های خاص بر پایه‌ی پلی‌کربوکسیلات اتر است، که نقش عمده‌ی در بهبود خواص رولوزی بت، از جمله: روانی، مقاومت فشاری و دوام به عنوان یک افزودنی سودمند دارد و به طور چشم‌گیری کارایی ملات و بت را با ثابت نگه داشتن نسبت آب به سیمان افزایش می‌دهد. محصول اخیر، فاقد یون کلر است و هیچ‌گونه تأثیر نامناسبی در بت و آرماتورها ندارد. مشخصات فیزیکی و شیمیایی فوق روان‌کننده در جدول ۳ ارائه شده است.

الیاف استفاده شده در نوشتار حاضر، الیاف پلی پروپیلن و فولادی قلابی موج دار است. الیاف پلی پروپیلن در طول های ۱۲, ۱۶ و ۱۸ میلی‌متر استفاده شده است، که در شکل‌های ۳ الی ۵ مشاهده می‌شود. همچنین مشخصات آن نیز در جدول ۴ ارائه شده و برای هر سه طول ذکر شده‌ی الیاف پلی پروپیلن یکسان بوده است.

در نوشتار حاضر، از الیاف فولادی قلابدار با طول ۴۰ میلی‌متر استفاده شکل ۶ و مشخصات آنها در جدول ۵ ارائه شده است. آب استفاده شده در نوشتار حاضر، از آب شرب شهر سمنان تهیه شده است، که از نظر کیفیت مورد قبول بوده است.

جدول ۴. مشخصات الیاف پلی پروپیلن.

رنگ ظاهری	وزن مخصوص	سفید	درصد ازدیاد طول	%۸۰
قطر	۲۳ میکرون	۰/۹۱ (gr/cm³)	غوطه وری در آب	۳ الی ۵ ثانیه
مقاومت کششی	۴۰۰ Mpa	۰	حدوده ذوب	۱۶۵ درجه سانتی گراد
-	-	-	-	-

جدول ۵. مشخصات الیاف فولادی قلاب دار.

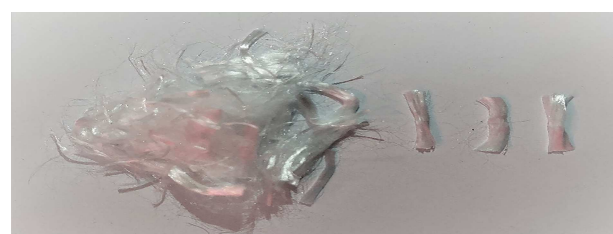
نوع جنس	فولاد کم کربن و نورد سرد
رنگ	خاکستری و مسی
وزن مخصوص	۷/۸ ± ۱ (gr/cm³)
طول	۳۵ - ۵۰ (mm)
قطر	۰/۸ - ۱/۲ (mm)
مقاومت کششی	۷۰۰ - ۱۲۰۰ (Mpa)
مقاومت خمشی	۱۸۰ - ۲۱۰ (Mpa)



شکل ۳. الیاف به طول ۶ میلی متر.



شکل ۴. الیاف به طول ۱۲ میلی متر.



شکل ۵. الیاف به طول ۱۸ میلی متر.



شکل ۶. الیاف فلزی فولادی قلاب دار.

۳. شرح آزمایش‌ها

۱.۳. آزمایش مقاومت فشاری

در نوشتار حاضر، برای آزمایش مقاومت فشاری از نمونه‌های مکعبی به ابعاد $۱۵۰ \times ۱۵۰ \times ۱۵۰$ میلی‌متر و همچنین از استاندارد ملی ایران (ISIRI ۶۰۴۸) استفاده شده است.

۲.۳. آزمایش مقاومت خمشی

آزمایش مقاومت خمشی براساس استاندارد ASTM C ۲۹۳ [۲۲] به وسیله‌ی دستگاه خوش جک یونیورسال SANTAM و به صورت خمش سه نقطه‌ی بی انجام شده است.

۳.۳. آزمایش اسلامپ

آزمایش اسلامپ براساس استاندارد ASTM - C ۱۴۳ [۲۳] انجام شده است. نتایج به دست آمده از آزمایش اسلامپ در نوشتار حاضر حاضر از اضافه کردن فوق روان‌کننده، زل میکروسیلیس و الیاف، در نسبت آب به سیمان $۰/۲۴$ در طرح‌های مختلف طرح اختلاط در محدوده‌ی ۱۰ الی ۲۰ میلی‌متر و در نسبت آب به سیمان $۰/۲۹$ در طرح‌های مختلف طرح اختلاط در محدوده‌ی ۲۰ الی ۳۵ میلی‌متر و در نسبت آب به سیمان $۰/۳۴$ اسلامپ اندازه‌گیری شده در طرح‌های مختلف طرح اختلاط در محدوده‌ی ۳۵ الی ۵۰ میلی‌متر بوده است.

۴.۳. عمل آوری

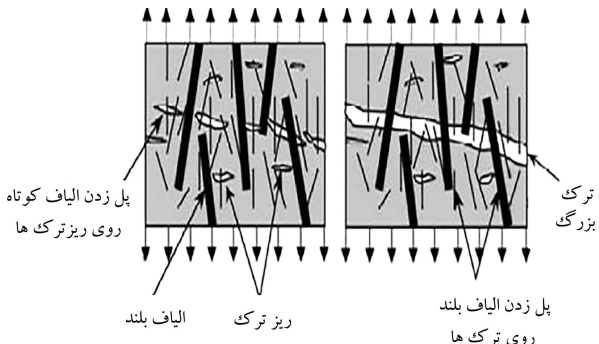
بعد از خارج کردن نمونه‌ها از قالب، با رعایت الزام‌های مبحث نهم مقررات ملی ساختمان، نمونه‌ها به حوضچه‌ی آب انتقال داده شدند. سپس نمونه‌ها بعد از گذشت ۷ و ۲۸ روز از حوضچه‌ی آب خارج و آزمایش شدند.

۵.۳. طرح اختلاط

در ابتدا برای رسیدن به یک طرح اختلاط هدف، چند طرح اختلاط بتن بررسی و برای هر طرح، ۳ نمونه‌ی بتن مکعبی به ابعاد $۱۵ \times ۱۵ \times ۱۵$ (۱۵×۱۵×۱۵) سانتی‌متر ساخته شد. پس از عمل آوری و انجام آزمایش مقاومت فشاری براساس استاندارد ISIRI ۶۰۴۸ [۲۴] با استفاده از جک بتن‌شکن، مقاومت ۷ روزه‌ی تمامی طرح‌ها بررسی شده است. نسبت‌های آب به سیمان مختلف $۰/۲۶$ ، $۰/۲۳$ ، $۰/۲۹$ ، $۰/۳۲$ ، $۰/۳۵$ ، $۰/۳۸$ و $۰/۴۰$ انتخاب و نمونه‌های بتُنی ساخته شدند. رسیدن به مقاومت فشاری حدود ۵۰ مگاپاسکال به عنوان هدف اولیه‌ی پژوهش حاضر، موردنظر بود که از میان طرح‌های اختلاط‌هایی که مقایسه شدند، یک طرح به نام طرح (T-M2) به عنوان طرح اختلاط مرجع انتخاب شد. مقاومت فشاری میانگین نمونه‌های مکعبی

جدول ۶. طرح‌های اختلاط بتن.

نام طرح آفرودنی و مواد	W/C	سیمان kg/m^3	kg/m^3		ماسه kg/m^3	آب kg/m^3	زیل میکروسیلیس kg/m^3	فوق روان کنندۀ kg/m^3	الیاف پلی پروپیلن (kg/m^3)	الیاف فلزی kg/m^3
			شنس	حداکثر اندازه 25mm						
				حداکثر اندازه 12/5mm						
T-M2	۲۲%	۶۵۰	۴۳۱/۸۸	۳۵۹/۹	۶۴۷/۸۲	۱۶۱/۲	۴۵/۵	۳/۹	-	-
M0	۲۴%	۶۵۰	۴۳۱/۸۸	۳۵۹/۹	۶۴۷/۸۲	۱۰۷/۹	۴۵/۵	۳/۹	-	-
M1	۲۹%	۶۵۰	۴۳۱/۸۸	۳۵۹/۹	۶۴۷/۸۲	۱۴۰/۴	۴۵/۵	۳/۹	-	-
M2	۲۴%	۶۵۰	۴۳۱/۸۸	۳۵۹/۹	۶۴۷/۸۲	۱۷۲/۹	۴۵/۵	۳/۹	-	-
P0	۲۴%	۶۵۰	۴۳۱/۸۸	۳۵۹/۹	۶۴۷/۸۲	۱۰۷/۹	۴۵/۵	۳/۹	۹/۱	-
P1	۲۹%	۶۵۰	۴۳۱/۸۸	۳۵۹/۹	۶۴۷/۸۲	۱۴۰/۴	۴۵/۵	۳/۹	۹/۱	-
P2	۲۴%	۶۵۰	۴۳۱/۸۸	۳۵۹/۹	۶۴۷/۸۲	۱۷۲/۹	۴۵/۵	۳/۹	۹/۱	-
F1	۲۹%	۶۵۰	۴۳۱/۸۸	۳۵۹/۹	۶۴۷/۸۲	۱۴۰/۴	۴۵/۵	۳/۹	-	۷۸/۵
H1	۲۹%	۶۵۰	۴۳۱/۸۸	۳۵۹/۹	۶۴۷/۸۲	۱۴۰/۴	۴۵/۵	۳/۹	۹/۱	۷۸/۵

شکل ۷. چگونگی عملکرد الیاف با طول‌های مختلف در بتن.^[۶]

ریز پل می‌زند و از به هم پیوستن آنها و شکل‌گرفتن ترک‌های بزرگ‌تر جلوگیری می‌کنند. این شرایط می‌تواند منجر به افزایش مقاومت و طاقت بتن شود. با افزایش بارگذاری و تشکیل ترک‌های بزرگ‌تر، الیاف با طول بلند وارد عمل می‌شوند و با گسترش آنها مقابله می‌کنند، که می‌تواند منجر به افزایش شکل‌بزیری بتن شود.^[۶]

۴. نتایج و بحث

۱.۴. نتایج آزمایش مقاومت فشاری

با استفاده از نتایج بدست آمده از دستگاه آزمایش (چک بتن‌شکن) در پژوهش حاضر می‌توان اظهار داشت که طرح اختلاط بتن الیافی با الیاف تکیبی (H1) با الیاف فلزی قلاب‌دار به طول ۴۰ میلی‌متر و الیاف پلی‌پروپیلن به طول ۱۲ میلی‌متر، بهترین مقاومت فشاری ۲۸ روزه را در بین تمام طرح‌های اختلاط بتن پژوهش حاضر داشته است.

پس از شکست نمونه‌های مکعبی استاندارد به ابعاد $(15 \times 15 \times 15) cm^3$ سانتی‌متر و آشکار شدن عمق بتن به واسطه‌ی ترک‌های بزرگ‌تر مشاهده شد که الیاف‌های فلزی قلاب‌دار به طول ۴۰ میلی‌متر در داخل بتن بین ترک‌ها پل زده و باعث جلوگیری از

با طرح اختلاط (T-M2) برابر ۵۱/۸۵ مگاپاسکال و نسبت آب به سیمان در طرح اخیر، ۳۴٪ بوده است، که منجر به بالاترین مقاومت فشاری شد. پس از انجام آزمایش‌های موردنیاز، ۱۴ طرح در پژوهش حاضر انجام شدند، که مشخصات آنها در جدول ۶ آرائه شده است.

در طرح اختلاط (T-M2)، تمامی پارامترها، ثابت در نظر گرفته شده و فقط پارامتر نسبت آب به سیمان، متغیر فرض شده و نمونه‌های مرجع با نسبت آب به سیمان ۲۴ (۰/۲۹، ۰/۲۹ و ۰/۳۴) به ترتیب به نام‌های (M2، M1، M0) در ابعاد مکعبی ($15 \times 15 \times 15 cm^3$) سانتی‌متر برای انجام آزمایش مقاومت فشاری به تعداد ۱۸ نمونه و در ابعاد ($15 \times 15 \times 60 cm^3$) سانتی‌متر برای انجام آزمایش مقاومت خمیشی به تعداد ۹ نمونه‌ی بتقی ساخته شدند. علت انتخاب این نسبت‌های آب به سیمان، که با گام‌های کاهشی ۵٪ از نسبت مرجع، ۳۴٪ در نظر گرفته شده‌اند، بررسی امکان افزایش بیشتر مقاومت‌های فشاری و خمیشی بتن با کاهش نسبت آب به سیمان بوده است.

مشخصات سایر طرح‌های اختلاط، شامل: نمونه‌های بتقی حاوی الیاف پلی‌پروپیلن با طول‌های مختلف ۶، ۱۲ و ۱۸ میلی‌متر و نسبت‌های متفاوت آب به سیمان ۲۴، ۰/۲۹ و ۰/۳۴، نمونه‌های بتقی حاوی الیاف فولادی قلاب‌دار به طول ۴۰ میلی‌متر با نسبت آب به سیمان ۰/۲۹، که میانگین سه نسبت آب به سیمان اخیر است و نیز ترکیب الیاف فولادی قلاب‌دار ۴۰ میلی‌متری و الیاف پلی‌پروپیلن ۱۲ میلی‌متری با نسبت آب به سیمان ۰/۲۹ در جدول ۶ آرائه شده است.

پس از عمل آوری تمامی نمونه‌های ذکر شده، آزمایش مقاومت فشاری ۷ و ۲۸ روزه طبق استاندارد C33-ASTM^[۱۹] و آزمایش مقاومت خمیشی ۲۸ روزه طبق استاندارد C293-ASTM^[۲۰] انجام گرفت. ضمیناً میانگین وزن مخصوص برای: بتن مرتع ۲۲۸ کیلوگرم بر مترمکعب؛ بتن الیافی با الیاف پلی‌پروپیلن ۲۲۸ کیلوگرم بر مترمکعب؛ بتن با الیاف فولادی ۳۵۸ کیلوگرم بر مترمکعب و بتن با الیاف تکیبی ۲۳۶۷ کیلوگرم بر مترمکعب اندازه‌گیری شده است. همان‌گونه که در شکل ۷ مشاهده می‌شود، الیاف کوتاه معمولاً بر روی ترک‌های

ریزترک‌ها و ترک‌های بزرگ، عملکرد بهتری به لحاظ پل زدن دارند. هر چند که به علت مقاومت کششی کم الیاف پلی‌پروپیلن، اثر پل زدن در ریزترک‌ها بیشتر به چشم می‌خورد.

در طرح‌های اختلاط بتن مرتع (M^o), بهترین مقاومت فشاری ۲۸ روزه مربوط به طرح اختلاط بتن (M^o) بوده است، که بتن آن، بتن بدون الیاف و مقاومت فشاری ۲۸ روزه بالای ۷۰ مگاپاسکال را داشته است، که به نظر می‌رسد نسبت آب به سیمان (۰/۲۴) در طرح اختلاط اخیر بتن (M) و به جای آن افزودن فوق روان‌کننده برای افزایش کارایی بتن و همچوین افزودن ژل میکروسیلیس موجب افزایش چشمگیر مقاومت فشاری ۲۸ روزه‌ی بتن در طرح اخیر شده است. استفاده از افزودنی‌های ذکر شده، در ساخت بتن گرچه مقاومت فشاری را افزایش داده است، اما منجر به بهبود رفتار بتن از نظر شکل‌بندی‌ری شده و شکستن نمونه‌های طرح (M) بعد از آزمایش توسط دستگاه آزمایش (جک بتن شکن) به صورت کاملاً ترد به گونه‌ی بوده است که نمونه بعد از شکست کاملاً از هم فرو پاشیده است.

- میانگین مقاومت فشاری تمام طرح‌های اختلاط بتن در شکل ۹، نمودار میانگین مقاومت فشاری تمام طرح‌های اختلاط بتن مشاهده می‌شود؛ که مطابق آن، در بین تمام طرح‌های اختلاط بتن مرتع و بتن الیافی با الیاف پلی‌پروپیلن، طرح‌های اختلاط بتن با نسبت آب به سیمان ۰/۲۴، بیشترین مقاومت فشاری را نسبت به بتن‌های ساخته شده با نسبت آب به سیمان ۰/۲۹ و ۰/۳۴ داشته‌اند. ضمن اینکه مقاومت فشاری بتن‌های الیافی پلی‌پروپیلن نسبت به بتن بدون الیاف با نسبت آب به سیمان یکسان، کاهش مقاومت داشته‌اند. در حالی که در مورد بتن با الیاف فولادی و ترکیبی، افزایش مقاومت مشاهده می‌شود. کاهش مقاومت بتن حاوی الیاف پلی‌پروپیلن عموماً به سبب مقاومت کششی پایین الیاف پلی‌پروپیلن در مقایسه با الیاف فولادی است، که در مراجع متعددی به آن اشاره شده است.^[۶] اما در بین بتن‌های الیافی با الیاف پلی‌پروپیلن، بالاترین میانگین مقاومت مربوط به طرح اختلاط - P با مقاومت فشاری ۶۳/۹۹ مگاپاسکال بوده است، اما به طور کلی مهمترین نتایج بدست آمده در تمام طرح‌های مربوط به پژوهش حاضر در طرح‌های اختلاط (H₁, F₁, M^o) مشاهده شده است، که میانگین مقاومت فشاری آنها بالای ۷۰ مگاپاسکال بوده است. طرح اختلاط M^o, بتن بدون الیاف و نسبت آب به سیمان آن ۰/۲۴ بوده است، که به میانگین مقاومت فشاری ۷۲/۳۶ مگاپاسکال رسیده است. طرح اختلاط F₁, بتن با الیاف فلزی قلابدار به طول ۴۰ میلی‌متر و نسبت آب به سیمان ۰/۲۹ بوده و میانگین مقاومت فشاری آن به ۴۲/۵۰ مگاپاسکال رسیده است. همچنین در طرح اختلاط H₁, بتن با الیاف ترکیبی، که در ساخت آن از الیاف فلزی قلابدار به طول ۴۰ میلی‌متر و الیاف پلی‌پروپیلن به طول ۱۲ میلی‌متر استفاده شده و نسبت آب به سیمان آن، ۰/۲۹ بوده است؛ به میانگین مقاومت فشاری ۷۲/۵۳ مگاپاسکال رسیده که بالاترین میانگین مقاومت فشاری در پژوهش حاضر بوده است، رسیده است. ضمن اینکه مقاومت فشاری ۲۸ روزه‌ی طرح H₁ به ۷۶/۱۶ مگاپاسکال رسیده و بالاترین مقاومت فشاری در پژوهش حاضر را از آن خود کرده است. همچنین بالاترین مقاومت فشاری طرح H₁ نسبت به طرح مرتع M₁ ۱۶/۴٪ رشد داشته است.

۲.۴. نتایج آزمایش مقاومت خمسی

با استفاده از نتایج به دست آمده از دستگاه آزمایش (جک یونیورسال)، و بررسی نمودارهای استخراج شده (شکل ۱۰) و مقایسه‌ی انهدام نمونه‌ها (شکل‌های ۱۱

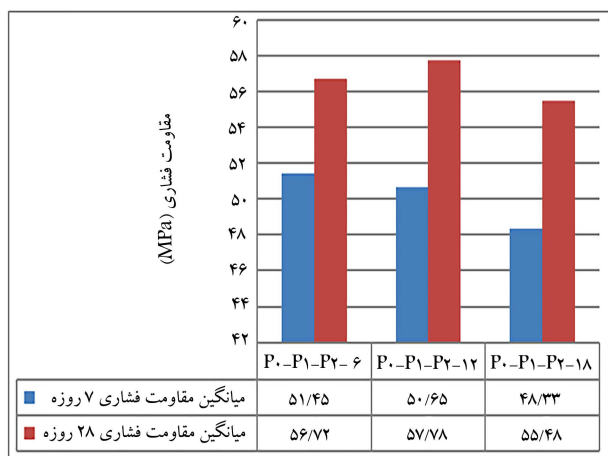
گسترش ریزترک‌ها به ترک‌های بزرگ تر شده‌اند. الیاف پلی‌پروپیلن نیز نقش جلوگیری از بوجود آمدن و گسترش ریزترک‌ها را داشته و الیاف‌ها در بین ترک‌های ریز بتن پل زده‌اند. وجود دو الیاف اخیر در کنار هم بهترین نقش را ایفا کرده و موجب افزایش شکل‌بندی‌ری و ظرفیت باربری در بتن شده است.

در بین طرح‌های اختلاط (P) با طول‌های مختلف الیاف پلی‌پروپیلن ۱۲/۶ و ۱۸ میلی‌متر) و نسبت‌های مختلف آب به سیمان (۰/۲۴، ۰/۲۹، ۰/۳۴) میانگین مقاومت فشاری در مورد نمونه‌های با نسبت آب به سیمان ۰/۲۴، ۰/۲۹ مربوط به نمونه‌ی ۰۶ - P به میزان ۶۳/۹۹ مگاپاسکال بوده است. در نسبت آب به سیمان ۰/۲۹، بالاترین میانگین مقاومت فشاری مربوط به طرح اختلاط ۱۲ - P₁ به میزان ۶۰/۲۴ مگاپاسکال و در نسبت آب به سیمان ۰/۳۴ ۵۱/۲۷ مگاپاسکال بوده است. همان‌گونه که مشاهده می‌شود، با افزایش نسبت آب به سیمان، مقاومت فشاری نمونه‌های دارای الیاف پلی‌پروپیلن کاهش یافته است، اما طول الیافی که منجر به این مقدار بیشینه شده است، افزایش یافته است. یعنی در نسبت آب به سیمان کمتر، الیاف با طول کمتر و در نسبت آب به سیمان بیشتر، طول الیاف بزرگ‌تر منجر به بیشترین مقاومت فشاری برای بتن می‌شود.

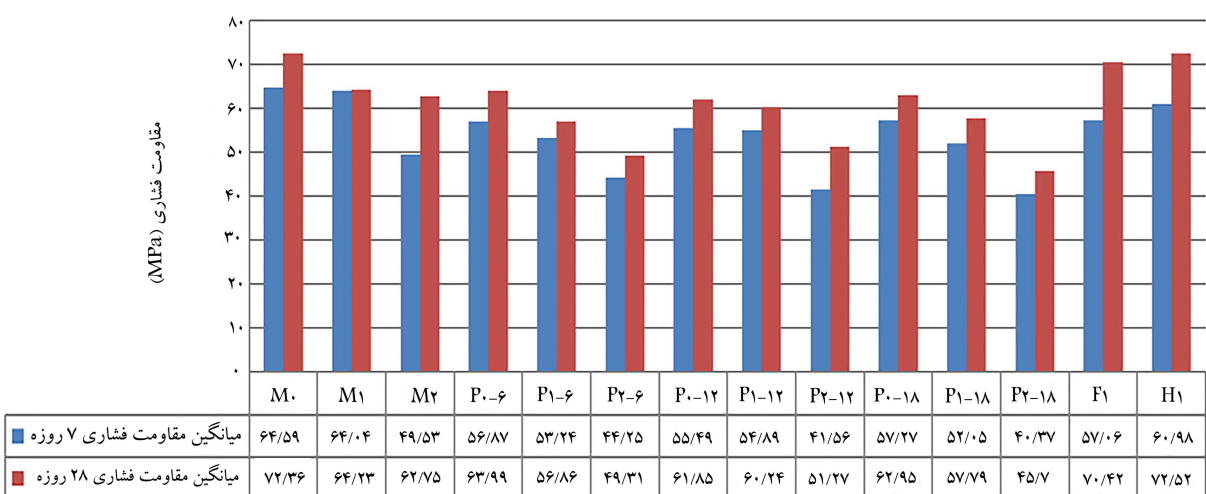
پس از شکست نمونه‌ها برای آزمایش مقاومت فشاری ۲۸ روزه و مشاهده‌ی عمق ترک‌ها در بتن می‌توان اظهار داشت که الیاف پلی‌پروپیلن با طول ۱۸ میلی‌متر بلزدن بهتری را نسبت به الیاف پلی‌پروپیلن با طول‌های ۶ و ۱۲ میلی‌متر در بین ریزترک‌ها داشته و شکست نمونه‌ها هم نرم‌تر بوده است؛ اما به واسطه مقاومت پایین الیاف پلی‌پروپیلن (به لحاظ جنس و مشخصات هندسی و مکانیکی)، پس از گسترش ریزترک‌ها به ترک‌های بزرگ‌تر، بلزدن الیاف پلی‌پروپیلن بلند کامل نشده منجر به پاره شدن الیاف ها شده است.

در طرح‌های اختلاط با الیاف پلی‌پروپیلن، الیاف با طول ۱۲ میلی‌متر بالاترین میانگین مقاومت فشاری را نسبت به سایر طول‌های الیاف طرح‌های اختلاط (P) از خود نشان داده است (شکل ۸).

میانگین مقاومت فشاری نمونه‌های بتی با الیاف پلی‌پروپیلن با طول‌های مختلف در شکل ۸ مشاهده می‌شود؛ که مطابق آن، الیاف به طول ۱۲ میلی‌متر در تمام نسبت‌های آب به سیمان به طور میانگین بیشترین مقاومت فشاری را برای بتن در بی داشته‌اند. لذا چنین به نظر می‌رسد که الیاف ۱۲ میلی‌متری در هر دو مورد



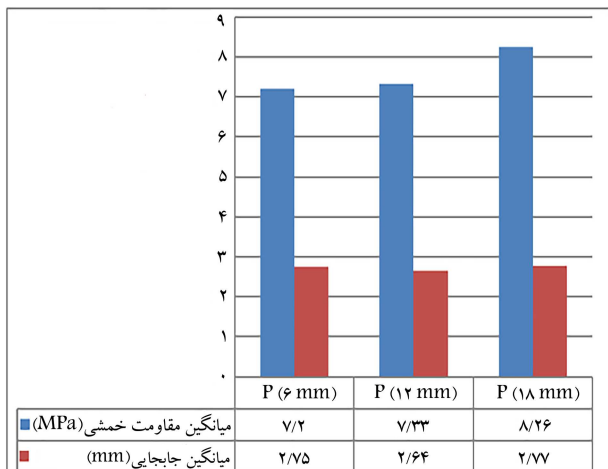
شکل ۸. میانگین مقاومت فشاری طرح‌های P به تفکیک طول الیاف.



شکل ۹. نمودار میانگین مقاومت فشاری تمام طرح‌ها.

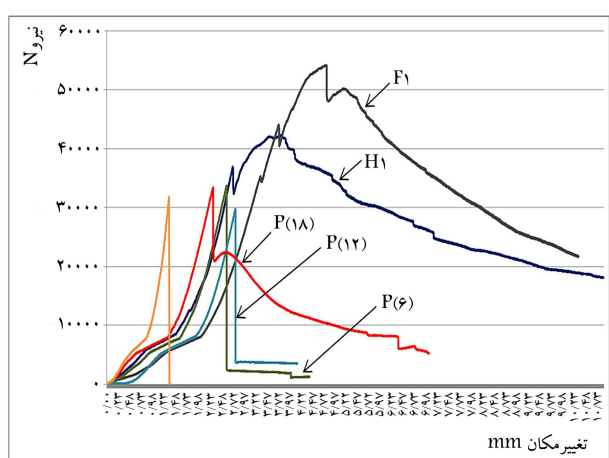


شکل ۱۳. مقایسه‌ی انهدام نمونه‌های با نسبت آب به سیمان $W/c = 0/34$.



شکل ۱۴. مقایسه‌ی میانگین مقاومت خمی و میانگین جابجایی به تفکیک طول الیاف.

الی (۱۳) در پژوهش حاضر می‌توان اظهار داشت که بتن الیافی (F1) با الیاف فلزی قلاب دار به طول ۴۰ میلی‌متر با میانگین مقاومت خمی ۱۲/۸۵ مگاپاسکال بیشترین مقاومت خمی ۲۸ روزه را در بین تمام طرح‌ها داشته است، که به نظر می‌رسد مقاومت کششی بالاتر الیاف فلزی نسبت به الیاف پلی‌پروپیلن و طول بلندتر آنها سبب شده است که الیاف فلزی، عملکرد پل‌زدن بهتری بر روی ترک‌های بزرگ داشته باشند، که افزایش مقاومت خمی را نیز به دنبال داشته است. پس



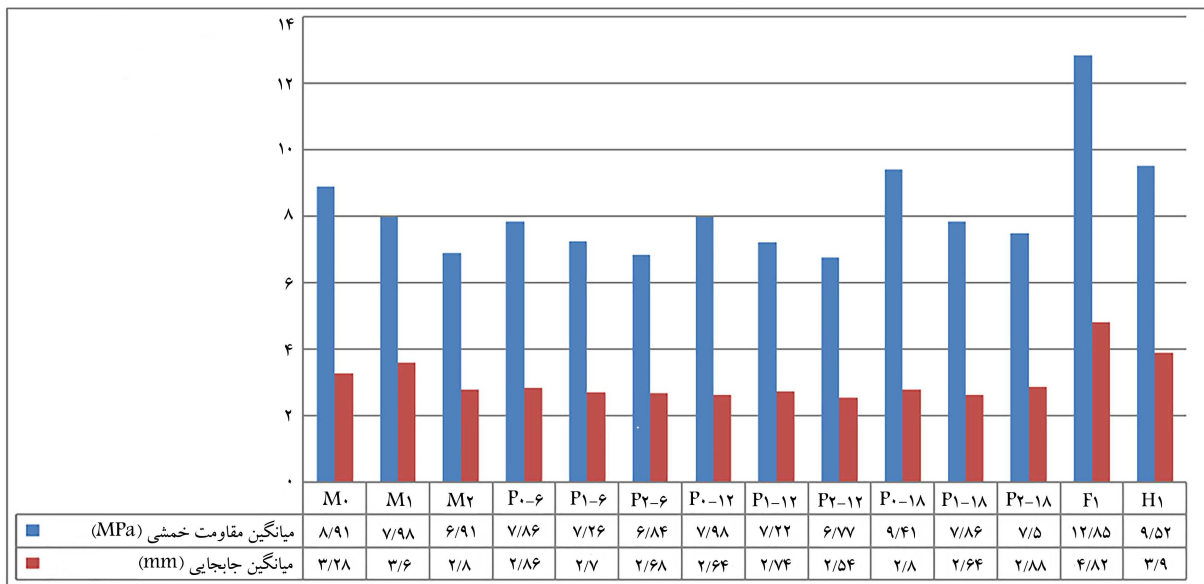
شکل ۱۰. نمودار نیرو - تغییر مکان مقایسه‌ی طرح‌های H1, P(6 - ۱۲ - ۱۸) و F1 نمونه‌ی بدون الیاف.



شکل ۱۱. مقایسه‌ی انهدام نمونه‌های با نسبت آب به سیمان $W/c = 0/24$.



شکل ۱۲. مقایسه‌ی انهدام نمونه‌های با نسبت آب به سیمان $W/c = 0/29$.



شکل ۱۵. نمودار میانگین مقاومت خمشی و میانگین جابجایی تمامی طرح‌ها.

از افزودنی‌های اخیر در ساخت بتن، گرچه مقاومت خمشی را افزایش داده، اما منجر به بهبود رفتار بتن از نظر شکل پذیری نشده و شکست نمونه‌های طرح‌های مرتع بعد از آزمایش توسط دستگاه (جک یونیورسال) به صورت کاملاً ترد بوده است، به‌گونه‌یی که نمونه بعد از شکست کاملاً دو نیم شده است.

از شکست نمونه تیرهای بتني با ابعاد $(15 \times 15 \times 60)$ سانتی‌متر و بررسی نوع ترک‌های ایجاد شده، مشاهده شد که الیاف فازی قلاب‌دار به طول ۴۰ میلی‌متر در داخل بتن بین ترک‌ها پل زده و سبب جلوگیری از گسترش ریزترک‌ها و تبدیل به ترک‌های بزرگ‌تر شده است. الیاف پلی‌پروپیلن نیز نقش جلوگیری از به وجود آمدن و گسترش ریزترک‌ها را داشته و الیاف‌ها در بین ترک‌های ریز بتن پل زده‌اند.

در طرح H₁، که بتن الیافی از نوع الیاف ترکیبی بوده است، وجود دو الیافی که به آن اشاره شده است، در کنار هم بهترین نتیجه را ایفا کرده و موجب افزایش شکل پذیری در بتن شده و نمونه‌های بتني طرح H₁ بعد از نمونه‌های طرح F₁، بیشترین مقاومت خمشی را در بین تمام طرح‌ها داشته و با توجه به نمودارهای نیرو- تغییرمکان طرح‌های اختلاط، طرح H₁ شکل پذیری فوق العاده بهتری را نسبت به سایر طرح‌های اختلاط پن داشته است. در بین طرح‌های اختلاط (P) بتن با الیاف پلی‌پروپیلن، بیشترین مقاومت خمشی را در بین ۹ طرح، طرح اختلاط ۱۸ - P₀ با میانگین مقاومت خمشی ۹/۴۱ مگاپاسکال از خود نشان داده است. پس از شکست نمونه‌ها برای آزمایش مقاومت خمشی ۲۸ روزه توسط دستگاه آزمایش و مشاهده ترک‌های ناشی از شکست می‌توان اظهار داشت که الیاف پلی‌پروپیلن با طول ۱۸ میلی‌متر، پل زدگی بهتری را نسبت به الیاف پلی‌پروپیلن با طول‌های ۶ و ۱۲ میلی‌متر در بین ترک‌های داشته و منجر به شکستی نرم‌تر در نمونه‌ها شده است؛ اما با واسطه‌ی مقاومت پایین الیاف پلی‌پروپیلن، پس از گسترش ریزترک‌ها و پل زدن الیاف، منجر به پاره شدن الیاف‌ها شده است. طرح اختلاط ۱۸ - P₀ در بین طرح‌های بتن الیافی با الیاف پلی‌پروپیلن، شکل پذیری بهتر و شکستی فوق العاده نرم‌تر از خود نشان داده است (شکل ۱۶). در بین طرح‌های اختلاط بتن مرتع (M)، بهترین مقاومت خمشی ۲۸ روزه مربوط به طرح M₀ بوده است، که طرحی بدون الیاف با نسبت آب به سیمان ۲/۲۴ بوده است، که به جای بالا بدن نسبت آب به سیمان افزودن فوق روان‌کننده برای افزایش کارایی بتن استفاده شده است. همچنین افزودن ژل میکروسیلیس سبب افزایش چشمگیر مقاومت خمشی ۲۸ روزه‌ی بتن در طرح M₀ شده است. استفاده

۵. نتیجه‌گیری

به‌طورکلی می‌توان بیان کرد که استفاده از الیاف سبب عملکرد بهتر بتن می‌شود. درخصوص الیاف پلی‌پروپیلن با افزایش طول الیاف، کارایی بتن کاهش، اما به جهت کم شدن قابلیت پل زدن آنها بر روی ریزترک‌ها، شکل پذیری و ظرفیت خمشی بتن افزایش یافته است. در بین تمام طرح‌های اختلاط نوشتار حاضر، نمونه‌های با نسبت آب به سیمان ۲۴/۰، بالاترین مقاومت‌های فشاری و خمشی را در مقایسه با طرح‌های مشابه از خود نشان داده‌اند. استفاده از ترکیب الیاف فلزی و الیاف پلی‌پروپیلن در بتن به جهت ترکیب قابلیت پل زدن بر روی ریزترک‌ها و ترک‌های بزرگ، منجر به افزایش شکل پذیری و ظرفیت خمشی در بتن شده است.

1. polyolefin
2. Alberti
3. Yoo
4. Kumar
5. Bentegri
6. Chen
7. Liang
8. Deng
9. Ding
10. Pehlivanli & Uzun

(References) مراجع

1. Daneti, S.B., Wee, T.H. and Thangayah, T., 2011. Effect of polypropylene fibers on the shrinkage cracking behavior of lightweight concrete. *Magazine of Concrete Research*, 63(11), pp.871-881. DOI:10.1680/macr.2011.63.11.871.
2. Emin Arsalan, M., 2016. Effects of basalt and glass chopped fibers addition on fracture energy and mechanical properties of ordinary concrete: CMOD measurement. *Construction and Building Materials*, 114, pp.383-391. DOI:10.1016/j.conbuildmat.2016.03.176.
3. Haji Karimi, P. and Fallah Hosseini, S., 2017. Investigating the effect of volume percentage, length and geometric shape of polyolefin fibers on the mechanical characteristics and fracture characteristics of high strength concrete. *Concrete Research*, 12(1), pp.59-70 [In Persian]. DOI:10.22124/JCR.2018.10946.1307.
4. Alberti, M., Enfedaque, A. and Gálvez, J., 2017. Fibre reinforced concrete with a combination of polyolefin and steel-hooked fibres. *Composite Structures*, 171, pp.317-325. DOI:10.1016/j.compstruct.2017.03.033.
5. Yoo, D.Y., Kim, S.W. and Park, J.J., 2017. Comparative flexural behavior of ultra-high-performance concrete reinforced with hybrid straight steel fibers. *Construction and Building Materials*, 132, pp.219-229. DOI:10.1016/j.conbuildmat.2016.11.104.
6. Pakravn, H., Latifi, M. and Jamshidi, M., 2017. Hybrid short fiber reinforcement system in concrete: A review. *Construction and Building Materials*, 142, pp.280-294. DOI:10.1016/j.conbuildmat.2017.03.059.
7. Kumar, R., Goel, P. and Mathur, R., 2013. Suitability of concrete reinforced with synthetic fiber for the construction of pavements. *3rd International Conference on Sustainable Construction Materials and Technologies*.
8. Bentegri, I., Boukendakdj, O., Kadri, E.H., Ngo, T.T. and Soualhi, H., 2020. Rheological and tribological behaviors of polypropylene fiberre inforced Concrete. *Construction and Building Materials*, 261. DOI:10.1016/j.conbuildmat.2020.119962.
9. Chen, M., Si, H., Fan, X., Xuan, Y. and Zhang, M., 2022. Dynamic compressive behaviour of recycled tyre steel fibre reinforced concrete. *Construction and Building Materials*, 316, DOI:10.1016/j.conbuildmat.2021.125896.
10. Liang, N., You, X., Yan, R., Miao, O. and Liu, X., 2022. Experimental investigation on the mechanical properties of polypropylene hybrid fiber-reinforced roller-compacted concrete pavements. *International Journal of Concrete Structures and Materials*, 16(1), DOI:10.1186/s40069-021-00493-6.
11. Liang, N., Mao, J., Yan, R., Liu, X. and Zhou, X., 2022. Corrosion resistance of multiscale polypropylene fiber-reinforced concrete under sulfate attack. *Case Studies in Construction Materials*, 16, DOI:10.1016/j.cscm.2022.e01065.
12. Rajeev Kumar, P., Balaji Shankar, S., Vidhya, K., Sawant, R.S. and Arun, M., 2021. The steel and polypropylene reinforced concrete beams: Shear behavior. *Materials Today: Proceedings*. DOI:10.1016/j.matpr.2021.07.181.
13. Bahmani, H. and Mostufinejad, D., 2018. Investigation of mechanical properties of concrete with very high performance reinforced with polypropylene fibers and synthetic macro fibers. *Concrete Research*, 12(1), pp.15-26 [In Persian]. DOI:10.14359/51724596.
14. Ghasemi, S., Shafaei, J. and Jalali, M., 2022. Experimental evaluation of the effect of steel and polypropylene fibers and recycled aggregates on the mechanical properties of concrete. *Sharif Journal of Civil Engineering*, 38-2(3-2), pp.21-32. [In Persian]. DOI:10.24200/J30.2022.56347.3074.
15. Deng, Q., Zhang, R., Liu, C., Duan, Z. and Xiao, J., 2023. Influence of fiber properties on abrasion resistance of recycled aggregate concrete. *Construction and Building Materials*, 362. DOI:10.1016/j.conbuildmat.2022.129750.
16. Ali, A.Y.F., El-Emam, H.M., Seleem, M.H., Sallam, H.E.M. and Moawad, M., 2022. Effect of crack and fiber length on mode 1 fracture toughness of matrix-cracked FRC beams. *Construction and Building Materials*, 341, DOI:10.1016/j.conbuildmat.2022.127924.
17. Ding, C., Guo, L. and Chen, B., 2020. An optimum Polyvinyl alcohol fiber length for reinforced high ductility cementitious composites based on theoretical and experimental analyses. *Construction and Building Materials*, 259, DOI:10.1016/j.conbuildmat.2020.119824.
18. Pehlivanli, Z.O. and Uzun, I., 2022. Effect of polypropylene fiber length on mechanical and thermal properties of autoclaved aerated concrete. *Construction and Building Materials*, 322, DOI:10.1016/j.conbuildmat.2022.126506.
19. ASTM C33., 2016. Standard specification for concrete aggregates.
20. ASTM C150., 2015. Standard specification for portland cement.
21. ISIRI 6048., 2017. Determination of compressive strength of cylindrical specimens-Test methods.
22. ASTM C293., 2016. Standard test method for flexural strength of concrete (Using Simple Beam With Center-Point Loading).
23. ASTM C143., 2015. Standard test method for slump of hydraulic-cement concrete.